

図4. $L \sim N_e$ 関係

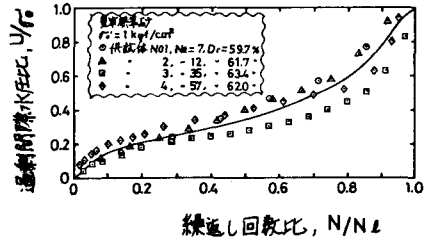


図5. $N/N_e \sim U_r/\sigma'_0$ 関係

剰間隙水圧/有効拘束圧)の関係が図5のように求まる。図4は両対数で表わると一般に直線になるため、 $L = aN_e^b \dots (1)$ と書くことができる。今、地盤内のある深度に L_1 なる繰返しせん断応力比が加わったとすると、図4に示した様に液状化回数 N_{L1} が求まり、 $L_1 = aN_{L1}^b \dots (2)$ と表わせる。また、例えば N_{R1} 液を地震時の有効な繰返し回数ととった場合、この深度での繰返しせん断強さ応力比 R_1 は図4に示したように求まり、 $R_1 = a(N_{R1})^b \dots (3)$ と表わされることになる。そして、この深度での F_e は (3) と (2) で除して得られ、これを変形すると $(N_{R1}/N_{L1}) = (F_e)^{1/b} \dots (4)$ なる関係が導かれる。一方、 N_{L1} が L_1 の応力比で液状化する回数、 N_{R1} がその途中の段階と考えると、 N_{R1}/N_{L1} は繰返し回数比 N/N_e と同じ意味となるため、図5を用いて U_r/σ'_0 を求めることができる。つまり、図5である N/N_e に対する U_r/σ'_0 を求め、一方この繰返し回数比を(4)式に代入して F_e を計算して、結局 F_e と U_r/σ'_0 の関係を得ることが出来る。このようにして図4、5から F_e と U_r/σ'_0 関係を求めると図6となる。なお、地震後のポーア後には過剰間隙水圧が上昇していくことに着目して、龍岡(4)式の代りに $(N_{R1}/N_{L1}) = 1/2 (F_e)^{1/b}$ ととることも提案している。

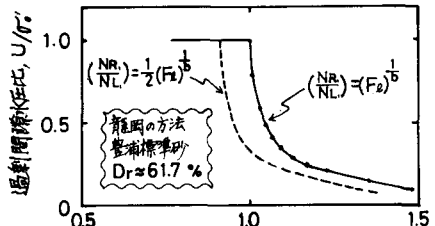


図6. F_e と U_r/σ'_0 関係図 (4a1)

◆ F_e と過剰間隙水圧比関係(石原らのまとめ方に従う方法) ◆

石原らは L とある繰返し回数(ここでは前と同様に20波をとってみる)で生じる残留過剰間隙水圧比 U_r/σ'_0 との関係を図7のようにまとめることを提案している³⁾。この関係図を利用すれば F_e と U_r/σ'_0 関係が得られる。つまり図2から図3へまとめ直したように各点の L で R を除すと F_e が得られる。このようにして F_e と U_r/σ'_0 (U_r と U はここで同じ意味となる) を求めると図8となる。

◆ まとめと今後の課題 ◆

繰返しせん断抵抗率と沈下量、過剰間隙水圧比関係が以上のようにして導かれた。ただし、図3、6、8の関係は一般的なものではないことに注意を要す。例えば少し液状化し難い土では図6、8に於いて右上に位置するような関係となりがらであり、また図3は平面ひずみ状態ともっと異なった値となるかもしれない。今後これらの点についてゆきたいと考えている。

◆ 参考文献 ◆ 1) 龍岡文夫, 安田進, 岩崎敏男, 常田賢一(1980), "Normalized Dynamic Undrained Strength of Sands Subjected to Cyclic and Random Loading", 工環学会論文報告集, Vol. 20, No. 2 2) 龍岡文夫, "私信"
3) 石原研而, 安田進, 川畑豊(1973), "地震時に発生する動的間隙水圧", 土学会第28回年次学術講演会

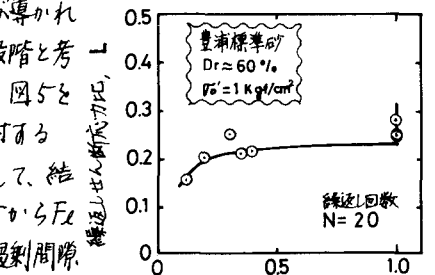


図7. $L \sim U_r/\sigma'_0$ 関係

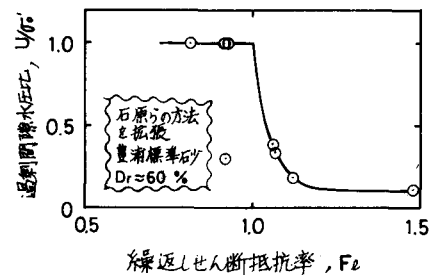


図8. F_e と U_r/σ'_0 の関係図 (4a2)